



Title: Estudio de la evolución de C:N:Chl en microalgas verdes considerando la
irradiación solar a través de un modelo dinámico

Authors: GUZMÁN-PALOMINO, Abraham, AGUILERA-VÁZQUEZ, Luciano, GARCÍA-VITE, Pedro Martín y MENDOZA-MARTÍNEZ, Ana María.

Editorial label ECORFAN: 607-8695
BCIERMMI Control Number: 2019-015
BCIERMMI Classification (2019): 241019-0015

Pages: 14

RNA: 03-2010-032610115700-14

ECORFAN-México, S.C.
143 – 50 Itzopan Street
La Florida, Ecatepec Municipality
Mexico State, 55120 Zipcode
Phone: +52 1 55 6159 2296
Skype: ecorfan-mexico.s.c.
E-mail: contacto@ecorfan.org
Facebook: ECORFAN-México S. C.
Twitter: @EcorfanC

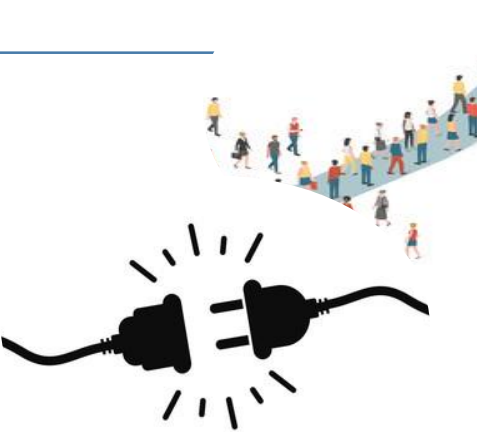
www.ecorfan.org

Holdings		
Mexico	Colombia	Guatemala
Bolivia	Cameroon	Democratic
Spain	El Salvador	Republic
Ecuador	Taiwan	of Congo
Peru	Paraguay	Nicaragua

Contenido

1. Introducción
2. Objetivo General
3. Metodología
4. Resultados
5. Conclusiones
6. Agradecimientos

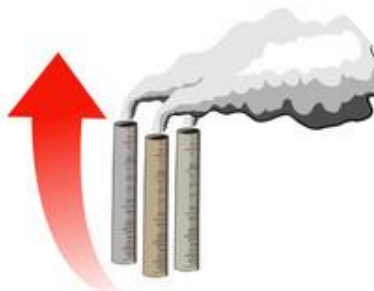
Introducción: Problema Actual



Incremento de
población
mundial.



Demanda
energética



Combustibles
fósiles

Contaminación
atmosférica

Introducción: Alternativas



Laguna “El conejo” Altamira, Tamaulipas.

Fuente: Elaboración propia



Obtención de biomasa



Reducción de los GEI

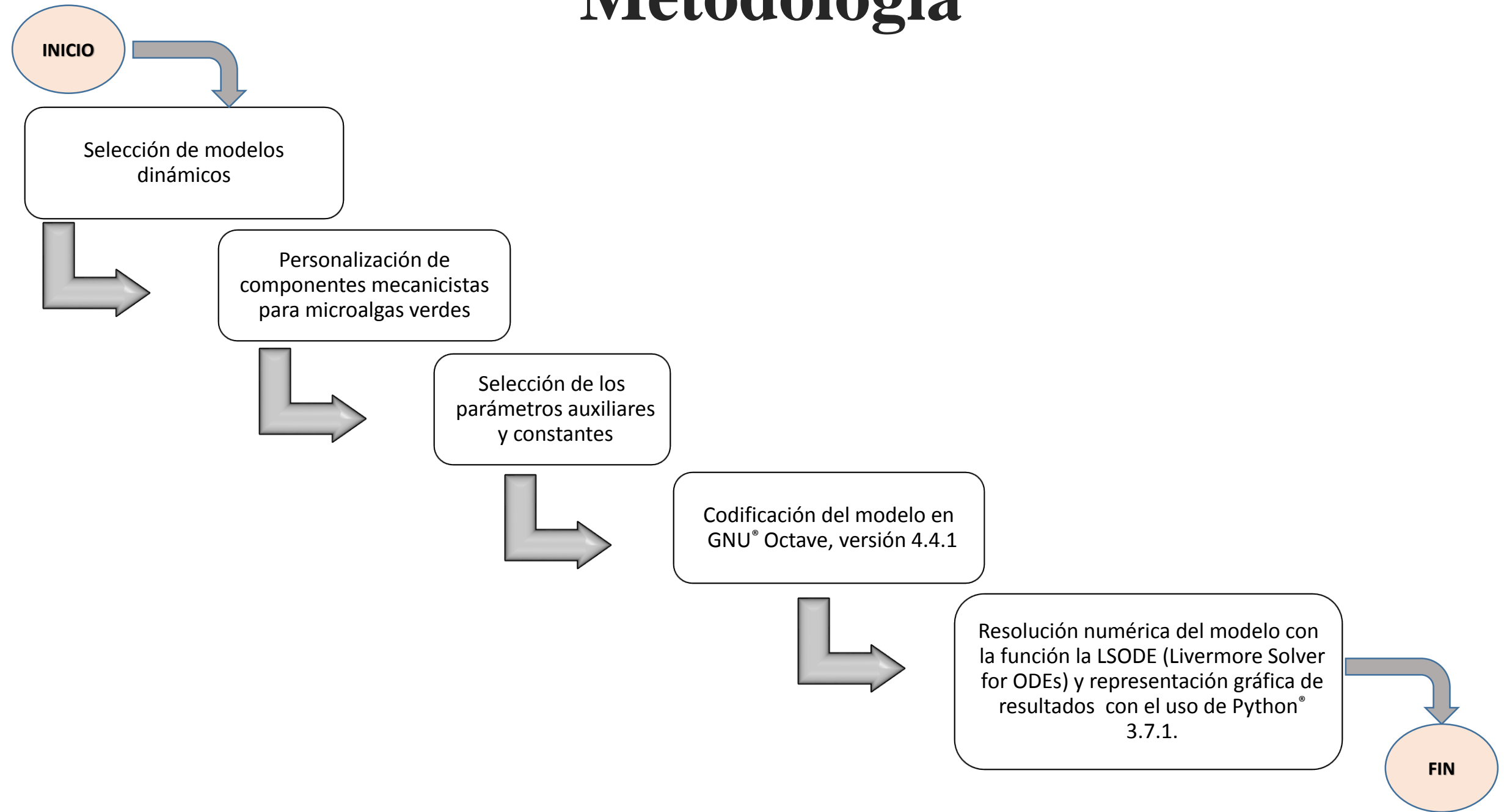


Control y simulación matemática

Objetivo General

El objetivo de este trabajo es estudiar la evolución dinámica de los cocientes de Glutamina-Carbono (G:C), Nitrógeno-Carbono (N:C), Clorofila-Carbono (Chl:C) y el crecimiento de biomasa (C) en microalgas verdes a través de un modelo mecanicista que responda a cambios de la irradiancia (DFF) y disponibilidad de nutrientes como Amonio (A) y Nitrógeno (N) utilizando herramientas de modelado matemático para simular fenómenos como la fotoaclimatación e interacciones multinutriente en dichos organismos.

Metodología



Esquema de la estructura del modelo dinámico

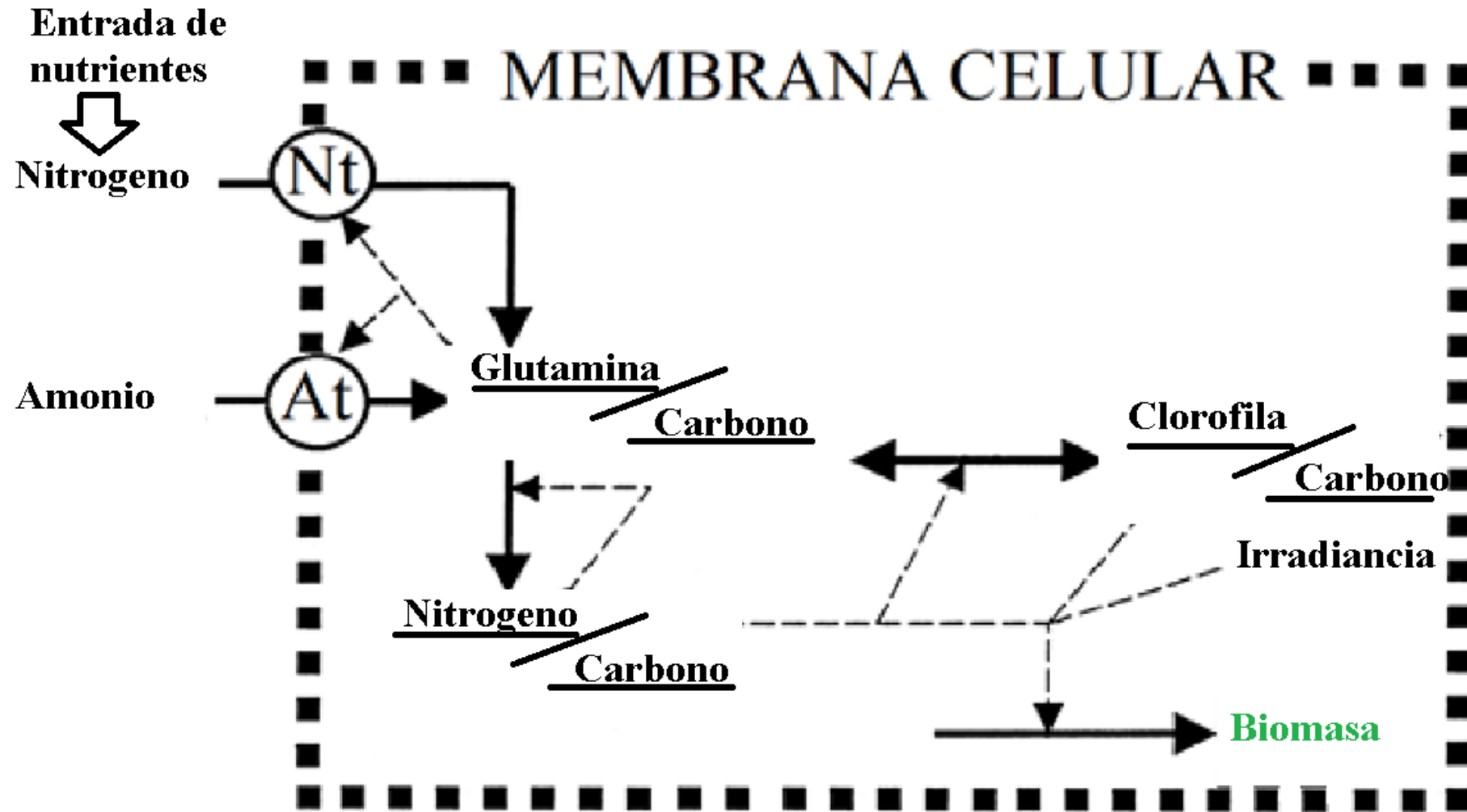


Figura 1 Esquema de la estructura del modelo dinámico que muestra los principales flujos dentro y fuera de las variables de estado y de los parámetros externos (nutrientes e irradiancia, DFF). *Fuente: Elaboración propia basada en (Kevin J. Flynn, 2001a)*

Principales Variables del modelo

$$At = \{(AmG - GC) > 0\} \cdot Atq \cdot \frac{A}{A + Akt} \cdot \frac{\left(1 - \frac{GC}{AmG}\right)^4}{\left(1 - \frac{GC}{AmG}\right)^4 + AhG}$$

Transporte Nutritivo de Amonio y Nitrógeno

$$Nt = \left(\frac{\{GC < NmG1\} \cdot Ntq \cdot N}{N + Nkt} \cdot \frac{\left(1 - \frac{GC}{NmG1}\right)^4}{\left(1 - \frac{GC}{NmG1}\right)^4 + NhG} \right) + \left(\frac{\{GC < NmG2\} \cdot 10 \cdot Ntq \cdot N}{N + 200 + Nkt} \cdot \frac{\left(1 - \frac{GC}{NmG2}\right)^4}{\left(1 - \frac{GC}{NmG2}\right)^4 + NhG} \right)$$

$$\frac{d}{dt} \cdot GC = At + Nt - 2 \cdot Um \cdot NCm \cdot NCu \cdot \left(2 - \frac{NC - NC_0}{NCm - NC_0} \right) \cdot \frac{(1 + AAmG) \cdot GC}{GC + AAmG} \cdot CAAs - GC \cdot Cμ \quad \xrightarrow{\hspace{10em}} \text{g Glutamina / g Carbono}$$

$$\frac{d}{dt} \cdot NC = Um \cdot NCm \cdot NCμ \cdot \left(2 - \frac{NC - NC_0}{NCm - NC_0} \right) \cdot \frac{(1 + AAmG) \cdot GC}{GC + AAmG} \cdot CAAs - NC \cdot Cμ \quad \xrightarrow{\hspace{10em}} \text{g Nitrógeno / g Carbono}$$

$$\frac{d}{dt} \cdot ChlC = ChlCm \cdot NCμ \cdot M \cdot Um \cdot CAAs \cdot \left(1 - \frac{PS}{Pqm} \right) \cdot \frac{\left(1 - \frac{ChlC}{ChlCm} \right)}{\left(1 - \frac{ChlC}{ChlCm} \right) + 0.05} - ChlC \cdot (Cμ + (1 - NCμ)) \cdot Um$$

$$\frac{d}{dt} \cdot C = C \cdot Cμ \quad \xrightarrow{\hspace{10em}} \text{Biomasa } \mu\text{g de Carbono / L}$$

g Clorofila / g Carbono

Escenarios de Simulación

Escenario	Parámetros externos		
	Nitrógeno $\mu\text{gN}l^{-1}$	Amonio $\mu\text{gN}l^{-1}$	Irradiancia $\mu\text{molm}^{-2}d^{-1}$
1	10	10	1000
2	10	10	0
3	1	1	1000

Tabla 1 Valores de los parámetros externos A, N y DFF colocados en cada escenario de simulación.

Resultados de la simulación 1. Fase luminosa

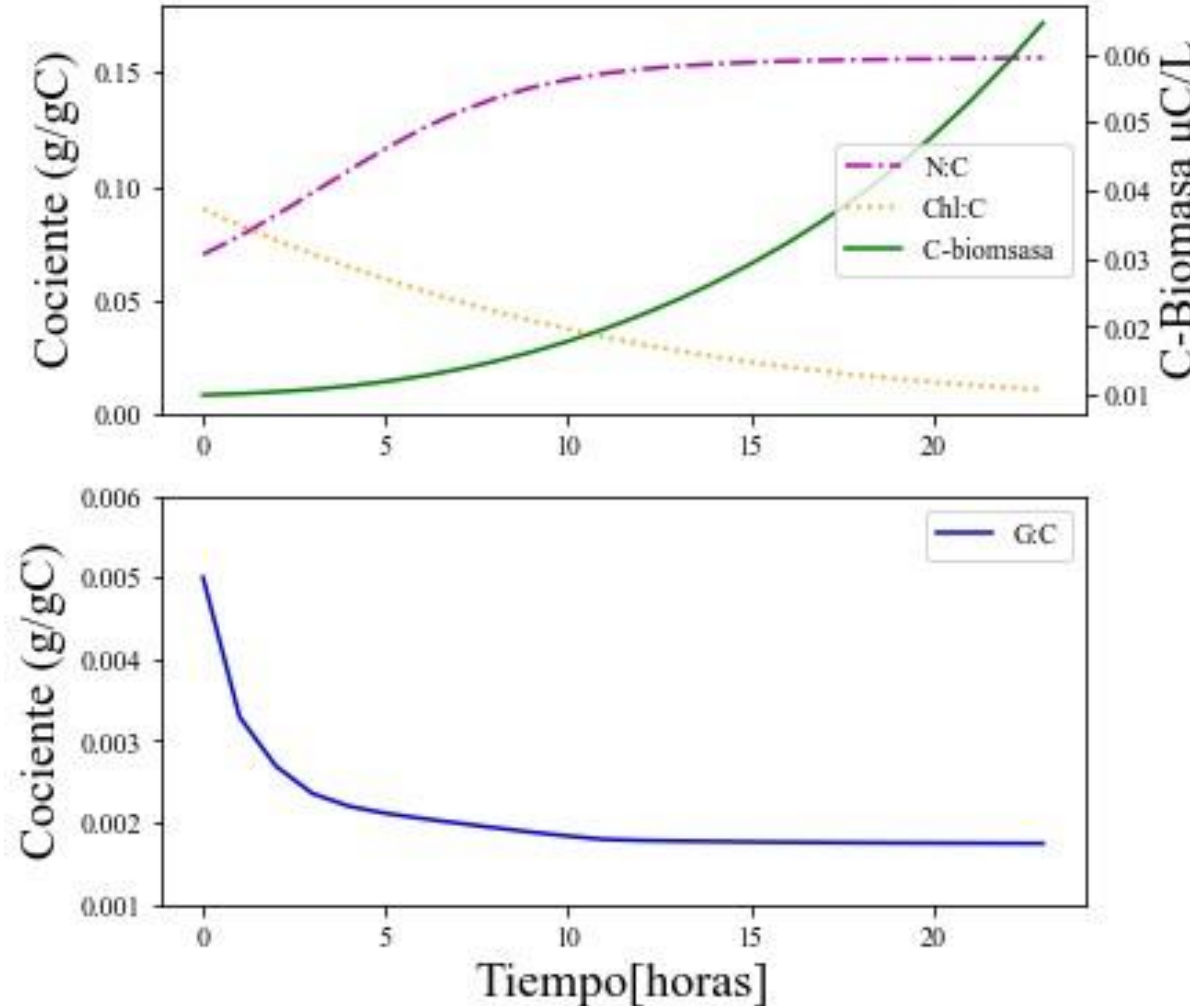


Gráfico 1 Evolución dinámica de N:C, Chl:C, G:C y C-biomasa en un periodo de 24 horas. *Escenario de simulación 1.*
Fuente: Elaboración propia en Python® 3.7.1.

Resultados de la simulación 2. Fase oscura

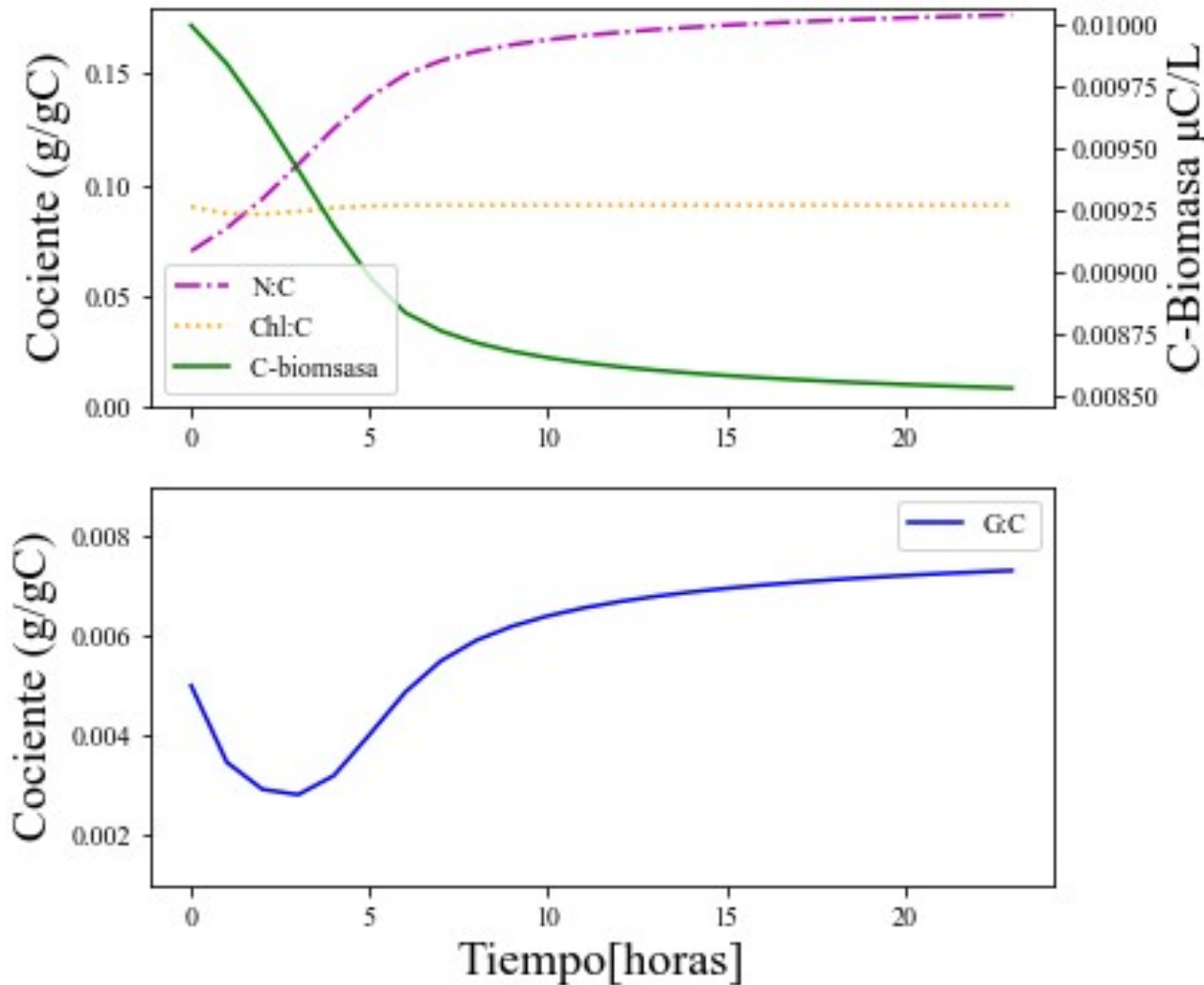


Gráfico 2 Evolución dinámica de N:C, Chl:C, G:C y C-biomasa en un periodo de 24 horas. *Escenario de simulación 2. Fuente: Elaboración propia en Python® 3.7.1.*

Resultados de la simulación 3. Fase luminosa y limitada de nutrientes

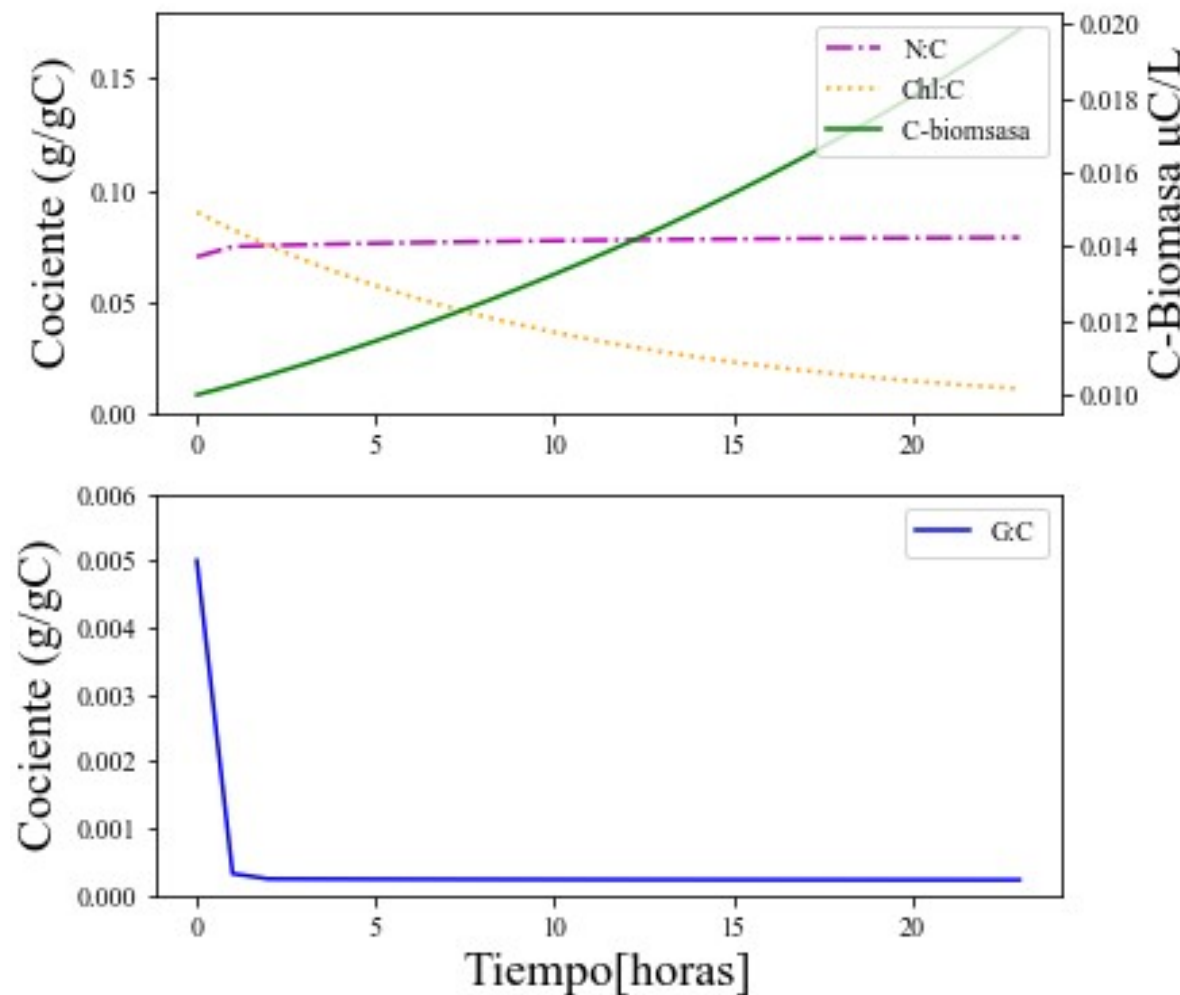


Gráfico 3 Evolución dinámica de N:C, Chl:C, G:C y C-biomasa en un periodo de 24 horas. *Escenario de simulación 3. Fuente: Elaboración propia en Python® 3.7.1.*

Conclusiones

Se encontró que el modelo mecanicista propuesto es capaz de simular la evolución dinámica de los cocientes de Glutamina- Carbono (G:C), Nitrógeno-Carbono (N:C), Clorofila-Carbono (Chl:C) y el crecimiento de biomasa (C) en microalgas verdes. El modelo responde a cambios de la irradiancia (DFF) y disponibilidad de nutrientes como Amonio (A) y Nitrógeno (N) con las herramientas de modelado matemático utilizadas y muestra coherencia con planteamientos teóricos revisados en la literatura.

Agradecimientos

Se agradece al Tecnológico de Ciudad Madero por todos los apoyos y servicios prestados por mis profesores para la realización de este trabajo.

Así mismo a CONACYT por la beca otorgada durante mis estudios de doctorado.



Referencias

1. Caperon, J. (1967). Population Growth in Micro-Organisms Limited by Food Supply. *Ecology*, 48(5), 715–722. <https://doi.org/10.2307/1933728>
2. Davidson, K. (1996). Modelling microbial food webs. *Marine Ecology Progress Series*, 145(1–3), 279–296. <https://doi.org/10.3354/meps145279>
3. Finkel, Z. V., Beardall, J., Flynn, K. J., Quigg, A., Rees, T. A. V., & Raven, J. A. (2010). Phytoplankton in a changing world: Cell size and elemental stoichiometry. *Journal of Plankton Research*, 32(1), 119–137. <https://doi.org/10.1093/plankt/fbp098>
4. Flynn, K., & Butler, I. (2007). Nitrogen sources for the growth of marine microalgae: role of dissolved free amino acids. *Marine Ecology Progress Series*, 34(December 1986), 281–304. <https://doi.org/10.3354/meps034281>
5. Flynn, K. J. (1997). Modelling the interactions between ammonium and nitrate. *Philosophical Transactions B*, 352.
6. Flynn, Kevin J. (2001a). A mechanistic model for describing dynamic multi-nutrient, light, temperature interactions in phytoplankton. *Journal of Plankton Research*, 23, 977–997. Retrieved from <http://www.swan.ac.uk/biosci/>
7. Flynn, Kevin J. (2001b). Temperature Interactions in Phytoplankton. *Journal of Plankton Research*, 23(9), 977–997. <https://doi.org/10.1016/j.esd.2010.10.005>
8. Flynn, Kevin J. (2013). Do we need complex mechanistic models for photoacclimation phytoplankton ?, 48(6), 2243–2249.
9. García-Camacho, F., Sánchez-Mirón, A., Molina-Grima, E., Camacho-Rubio, F., & Merchuck, J. C. (2012). A mechanistic model of photosynthesis in microalgae including photoacclimation dynamics. *Journal of Theoretical Biology*, 304, 1–15. <https://doi.org/10.1016/J.JTBI.2012.03.021>
10. Hindmarsh, A. C. (1982). Toward a Systematized Collection of Ode Solvers.
11. Jeon, Y. C., Cho, C. W., & Yun, Y. S. (2005). Measurement of microalgal photosynthetic activity depending on light intensity and quality. *Biochemical Engineering Journal*, 27(2), 127–131. <https://doi.org/10.1016/j.bej.2005.08.017>
12. Kenny, P., & Flynn, K. J. (2014). In silico optimization for production of biomass and biofuel feedstocks from microalgae. *Journal of Applied Phycology*, 27(1), 33–48. <https://doi.org/10.1007/s10811-014-0342-2>
13. Lehmuskerö, A., Chauton, M. S., & Boström, T. (2018). Light and photosynthetic microalgae: A review of cellular- and molecular-scale optical processes. *Progress in Oceanography*. <https://doi.org/10.1016/j.pocean.2018.09.002>
14. Lopez Ponte, W. M. (2019). Evaluación de dos especies de microalgas para determinar la eficiencia de remoción de nutrientes de aguas residuales de la PTAR taboada del callao, Perú. <https://doi.org/10.1017/CBO9781107415324.004>
15. ts into algae factories of the future. *Renewable and Sustainable Energy Reviews*, 81(September 2016), 643–654. <https://doi.org/10.1016/j.rser.2017.08.024>
16. Rizwan, M., Mujtaba, G., Memon, S. A., Lee, K., & Rashid, N. (2018). Exploring the potential of microalgae for new biotechnology applications and beyond: A review. *Renewable and Sustainable Energy Reviews*, 92(March 2017), 394–404. <https://doi.org/10.1016/j.rser.2018.04.034>
17. Shuba, E. S., & Kifle, D. (2018). Microalgae to biofuels: ‘Promising’ alternative and renewable energy, review. *Renewable and Sustainable Energy Reviews*, 81(April 2016), 743–755. <https://doi.org/10.1016/j.rser.2017.08.042>



ECORFAN®

© ECORFAN-Mexico, S.C.

No part of this document covered by the Federal Copyright Law may be reproduced, transmitted or used in any form or medium, whether graphic, electronic or mechanical, including but not limited to the following: Citations in articles and comments Bibliographical, compilation of radio or electronic journalistic data. For the effects of articles 13, 162,163 fraction I, 164 fraction I, 168, 169,209 fraction III and other relative of the Federal Law of Copyright. Violations: Be forced to prosecute under Mexican copyright law. The use of general descriptive names, registered names, trademarks, in this publication do not imply, uniformly in the absence of a specific statement, that such names are exempt from the relevant protector in laws and regulations of Mexico and therefore free for General use of the international scientific community. BCIERMMI is part of the media of ECORFAN-Mexico, S.C., E: 94-443.F: 008- (www.ecorfan.org/ booklets)